

Ніколаєнко Г.О., Водоріз О.С.,  
Рогачова О.І., докт. фіз.-мат. наук  
Тавріна Т.В. канд. фіз.-мат. наук, доцент  
Лісачук Г.В., докт. техн. наук, професор

Національний Технічний Університет  
«Харківський Політехнічний Інститут»,  
вул. Кирпичова, 2, Харків, 61002, Україна

## ТЕПЛОПРОВІДНІСТЬ ТВЕРДИХ РОЗЧИНІВ $PbSe_{1-x}Te_x$ ( $x = 0 - 0.04$ )

---

Одержано залежність граткової тепlopровідності  $\lambda_L$  пресованих зразків твердих розчинів  $PbSe_{1-x}Te_x$  від складу ( $x = 0 - 0.04$ ) за температури 325 К. На кривій  $\lambda_L(x)$  виявлено максимум поблизу  $x = 0.0075$ . Вимірювання температурної залежності  $\lambda_L$  в інтервалі 150 - 600 К показало, що концентраційна аномалія в цьому ж інтервалі складів спостерігається і на залежності степеневого коефіцієнта  $\beta$  у температурній залежності  $\lambda_L$  від складу. Немонотонний характер залежностей  $\lambda_L(x)$  і  $\beta(x)$  пов'язується з критичними явищами, що супроводжують перехід переколяційного типу від розведеніх до концентрованих твердих розчинів. При досліженні і практичному застосуванні твердих розчинів  $PbSe_{1-x}Te_x$  необхідно враховувати немонотонний характер зміни тепlopровідності зі складом. Бібл. 15, рис. 3.

**Ключові слова:** тверді розчини  $PbSe_{1-x}Te_x$ , тепlopровідність, склад, температура, переколяція.

### Вступ

Напівпровідникові ізовалентні та ізоструктурні тверді розчини (ТР) заміщення  $PbSe_{1-x}Te_x$  – перспективні середньотемпературні термоелектричні (ТЕ) матеріали [1,2]. Оскільки ефективність використання ТЕ матеріалів визначається добротністю  $ZT$  ( $ZT = S^2\sigma T/\lambda$ , де  $S$  – коефіцієнт Зеебека,  $\sigma$  – електропровідність,  $\lambda$  – загальна тепlopровідність і  $T$  – абсолютна температура), одним із шляхів підвищення  $ZT$  є зниження  $\lambda$ . Тепlopровідність напівпровідника включає дві основні складові – граткову ( $\lambda_L$ ) і електронну ( $\lambda_e$ ), які відображають розподіл теплового потоку у речовині фононами і електронами провідності [1,2]. Посилити розсіювання фононів і, як наслідок, знизити  $\lambda_L$ , не впливаючи негативно на електронні властивості ( $S$ ,  $\sigma$ ) залишається актуальною проблемою ТЕ матеріалознавства [1 – 3].

Експериментально тепlopровідність полікристалічних ТР  $PbSe_{1-x}Te_x$  досліджували в багатьох роботах [4 – 6], де основна увага приділялась складам з боку  $PbTe$ . Так, в [4,5] загальна  $\lambda$  знижувалась з ростом вмісту  $Se$  до  $x \sim 0.5$ , а потім знову зростала. В [6] було показано, що  $\lambda_L$  також знижується з ростом вмісту  $Se$  до  $x = 0.25$ , що на думку авторів обумовлено розсіюванням

фононів через локальну деформацію, викликану різницею мас атомів  $Te$  і  $Se$ . Теоретичний розрахунок  $\lambda_L$ , проведений авторами [7] показав, що за кімнатної температури при  $x = 0.5$  спостерігається максимальне зниження  $\lambda_L$  на ~ 30 % в порівнянні з  $\lambda_L$  сполук  $PbTe$  і  $PbSe$ .

Раніше в ряді робіт, огляд яких наведено в [8], були виявлені аномалії на ізотермах властивостей, в тому числі і теплопровідності у твердих розчинах на основі сполук IV-VI при малому вмісті другого компонента (~ 0.5–1.5 at. %). За припущенням авторів цих робіт концентраційні аномалії пов'язані з наявністю фазових переходів переколяційного типу при переході від розведених до концентрованих твердих розчинів.

Аномальна ділянка зростання теплопровідності на залежності  $\lambda(x)$  за кімнатної температури спостерігалася і авторами [9] у ТР  $PbSe_{1-x}Te_x$  з боку  $PbTe$  в інтервалі  $x = 0.9925 - 0.9875$ . Представляло інтерес з'ясувати чи буде проявлятися аналогічний ефект у цих же ТР  $PbSe_{1-x}Te_x$  тільки з боку  $PbSe$ . Тому, в роботі [10] було проведено дослідження концентраційних залежностей мікротвердості  $H$ ,  $S$ ,  $\sigma$  литих і пресованих полікристалічних зразків ТР  $PbSe_{1-x}Te_x$  ( $x = 0 - 0.045$ ) за кімнатної температури і поблизу  $x = 0.01$  виявлено ділянки аномального зниження  $H$  та  $S$  і зростання  $\sigma$ . Проте, теплові властивості цих зразків не були вивчені.

Дана робота присвячена дослідженню впливу складу і температури на теплопровідність твердих розчинів на основі селеніду свинцю у системі  $PbSe_{1-x}Te_x$  ( $x = 0 - 0.04$ ).

## Експеримент

Полікристалічні зразки  $PbSe_{1-x}Te_x$  ( $x = 0, 0.0025, 0.005, 0.01, 0.0125, 0.015, 0.0175, 0.035, 0.04$ ) були синтезовані шляхом сплавлення вихідних елементів у вакуумованих кварцових ампулах за температури 1380 К з наступним гомогенізуючим відпалом за температури 870 К протягом 240 год. Всі зразки мали  $p$ -тип провідності. Для вимірювання теплопровідності із литих злитків виготовлялись гарячепресовані зразки циліндричної форми діаметром 15 мм і висотою 5.5 мм (температура пресування 650 К, тиск 0.4 ГПа, час витримки під навантаженням 10 с) з наступним відпалом за температури 720 К протягом 250 год.

Теплопровідність вимірювалась в інтервалі температур 150 - 600 К на приладі ВТ- $\lambda$ -400 методом динамічного калориметра в режимі монотонного нагріву. Для кожного зразка було проведено три вимірювання  $\lambda$ . Відносна похибка вимірювань не перевищувала 5 %. Граткова складова теплопровідності  $\lambda_L$  виділялась із загальної теплопровідності шляхом віднімання електронної складової  $\lambda_e$ , яка розраховувалась за законом Відемана-Франца  $\lambda_e = L\sigma T$  (для виродженого напівпровідника число Лоренца  $L = \pi^2 k^2 / 3e = 2.45 \cdot 10^{-8}$  Вт·Ом·К<sup>2</sup> [11]. Електропровідність  $\sigma$  вимірювалась чотирьохзондовим методом з точністю 5 %.

## Результати та їх обговорення

На рис. 1 наведено залежність граткової теплопровідності від складу ТР  $PbSe_{1-x}Te_x$  за температури 325 К. Видно, що при загальній тенденції до зменшення  $\lambda_L$  зі збільшенням вмісту Te на залежності  $\lambda_L(x)$  спостерігається максимум поблизу  $x = 0.0075$ , що вказує на зменшення

фононного розсіювання і збільшення швидкості розповсюдження елементарних збуджень поблизу  $x = 0.0075$ .

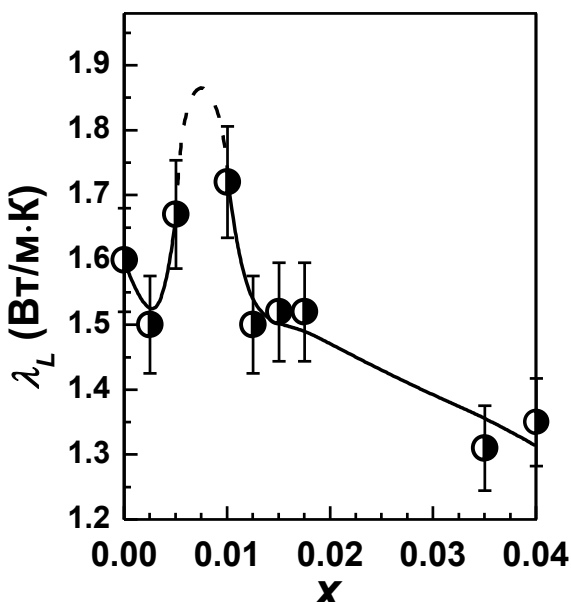


Рис. 1 Залежність граткової теплопровідності  $\lambda_L$  твердих розчинів  $PbSe_{1-x}Te_x$  від складу  $x$  за температури 325 К

У зв'язку з цим представляло інтерес з'ясувати, який буде характер концентраційної залежності степеневого коефіцієнта у температурній залежності  $\lambda_L$ . Тому було проведено вимірювання загальної теплопровідності  $\lambda$  досліджуваних зразків в інтервалі температур 150 - 600 К. На рис. 2 наведено температурні залежності  $\lambda(T)$  деяких зразків  $PbSe_{1-x}Te_x$  ( $x = 0, 0.0025, 0.005, 0.0175$ ). Решта зразків мала аналогічний характер залежностей  $\lambda(T)$ . З рис. 2 видно, що в досліджуваному інтервалі температур значення  $\lambda$  знижаються, що характерно для фонон-фононного розсіювання і узгоджується із залежностями  $\lambda(T)$  наведеними в роботах [4 – 6].

Виконаний нами оціночний розрахунок електронної складової теплопровідності показав, що для полікристалу  $PbSe$  за кімнатної температури  $\lambda_e = 1 \cdot 10^{-2}$  Вт/(м·К),  $\lambda_L/\lambda = 99.4\%$ , а для ТР  $PbSe_{1-x}Te_x$  значення  $\lambda_e = (0.5 - 1.4) \cdot 10^{-2}$  Вт/(м·К),  $\lambda_L/\lambda = (99.2 - 99.8)\%$ . Отже, в  $PbSe$  і в ТР  $PbSe_{1-x}Te_x$  на його основі основний вклад у теплопровідність вносить  $\lambda_L$ . На підставі цього можна припустити, що отримані у даній роботі експериментальні значення  $\lambda$  практично співпадають зі значеннями граткової теплопровідності.

Відомо, що за температур вище за температуру Дебая  $\Theta_D$  (для  $PbSe$   $\Theta_D = 138$  К)  $\lambda_L$  напівпровідників з ростом температури знижується за законом  $\lambda_L \sim T^{\beta}$  [11,12]. Припускаючи степеневий характер температурної залежності  $\lambda_L$  ( $\lambda_L \sim T^{\beta}$ ), для досліджуваних зразків був оцінений степеневий коефіцієнт  $\beta$  (рис. 3). Як видно з рис. 3, після зниження  $\beta$  при введенні першої порції домішки ( $x = 0.0025$ ) спостерігається різке зростання степеневого коефіцієнта при

$x = 0.005$ , коли  $\beta$  досягає практично теоретичного значення ( $\beta = -1.05 \pm 0.05$ ), і наступне різке зменшення до  $\beta = -0.5 \pm 0.05$ , що свідчить про наявність якихось перетворень у кристалі, які суттєво змінюють процеси теплопереносу і розсіювання фононів. Наступне зростання  $\beta$  і сталість  $\lambda_L$  в інтервалі  $x = 0.0125 - 0.0175$  вказують на складний характер цих перетворень, які можуть супроводжуватися процесами упорядкування. Було цікаво порівняти значення  $\beta$ , одержані іншими авторами, з результатами цієї роботи.

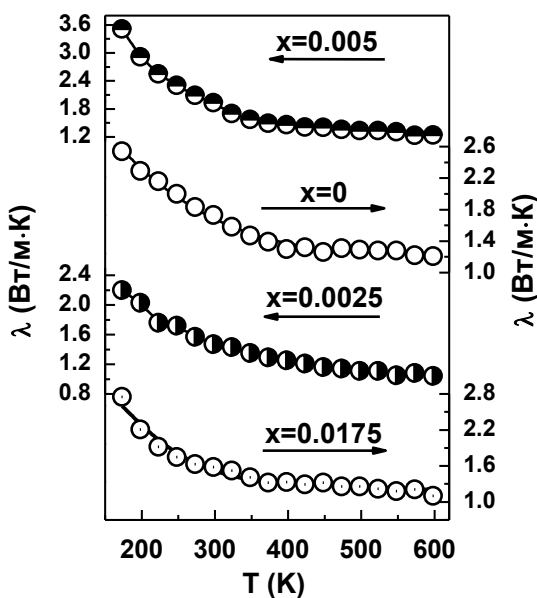


Рис. 2 Температурні залежності загальної теплопровідності  $\lambda$  твердих розчинів  $PbSe_{1-x}Te_x$

Проведене чисельне оцінювання степеневого коефіцієнта  $\beta$  для ряду експериментальних залежностей  $\lambda_L(T)$  для полікристалів  $PbSe$ , наведених в роботах [5, 6, 13], показало, що значення  $\beta$  дорівнюють  $\beta = -(0.7 - 0.9)$ . Відхилення значень  $\beta$  для чистого  $PbSe$  від теоретичного значення, очевидно, пов'язане з наявністю границь зерен, дефектів нестехіометрії та інших недосконалостей у полікристалах.

Аномальне зростання  $\lambda_L$  поблизу  $x = 0.0075$  можна описати, як це робилось в [9], в рамках задачі сфер теорії переколяції [14, 15]. В цій моделі кожний введений атом заміщення (в даному випадку атом  $Te$ ), представлений у вигляді сфери, викликає поле статичної деформації радіусом  $R_0$  і збудження фононного спектру у кристалі. При досягненні певної критичної концентрації  $x_c$  атомів заміщення (поріг переколяції) утворюється ланцюжок взаємопов'язаних атомів, що пронизує весь кристал (нескінчений кластер). Коли в решітку  $PbSe$  вводяться перші порції  $Te$ , структура кристалу стає неупорядкованою, що проявляється у зниженні теплопровідності при  $x = 0.0025$ . Подальше збільшення концентрації  $Te$  призводить до того, що деформаційні поля сусідніх атомів заміщення починають перекриватися, що визиває зниження локальних пружних напружень решітки, збільшення швидкості розповсюдження теплових коливань кристалічної

решітки і, як наслідок, зростання тепlopровідності. В рамках задачі сфер перколоційної теорії, використовуючи припущення про близькодіючий характер деформаційної взаємодії, критичну концентрацію можна визначити з умови  $\frac{4}{3}N_c(2R_0)^3 \approx 2.7$ , де  $N_c$  - середнє число центрів сфер радіусом  $R_0$  в одиниці об'єму [15]. Припускаючи, що критична концентрація з максимальним значенням  $\lambda_L$  відповідає  $x_c = 0.0075$ , було одержано  $R_0 = 1.39a_0$  (де  $a_0$  - параметр елементарною комірки  $PbSe$ ). Подальше збільшення концентрації Te викликає нові деформації кристалу в ТР, а значить зниження  $\lambda_L$  при  $x > 0.015$ . З великою вірогідністю, як вже відзначалося вище, такий перколоційний перехід супроводжується процесами упорядкування.

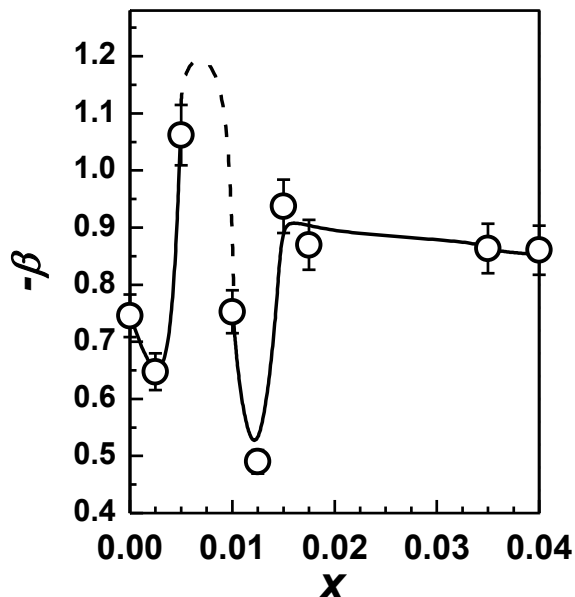


Рис. 3 Залежність степеневого коефіцієнта  $\beta$  у температурній залежності граткової тепlopровідності  $\lambda_L$  від складу твердого розчину  $PbSe_{1-x}Te_x$

Таким чином, аномальне зростання  $\lambda_L(x)$  в ТР  $PbSe_{1-x}Te_x$  поблизу  $x = 0.0075$  ми пов'язуємо з проявом критичних явищ, що супроводжують перехід перколоційного типу від розведеніх твердих розчинів до концентрованих. Наявність такої ділянки зростання  $\lambda_L(x)$  треба враховувати при розробці матеріалів на основі  $PbSe$ , бо збільшення тепlopровідності може привести до зменшення значення  $ZT$ . Результати роботи ще раз підтверджують обґрутоване в роботі [8] припущення про універсальний характер таких концентраційних аномалій.

## Висновки

Отримано залежності граткової тепlopровідності  $\lambda_L$  пресованих зразків твердих розчинів  $PbSe_{1-x}Te_x$  ( $x = 0 - 0.04$ ) за температури 325 К і степеневого коефіцієнта  $\beta$  у температурній залежності  $\lambda_L$  від складу. На залежностях  $\lambda_L(x)$  і  $\beta(x)$  поблизу  $x = 0.0075$  спостережено чіткі

максимуми, наявність яких свідчить про існування перетворень у гратковій підсистемі кристала, що приводять до зростання швидкості розповсюдження фононів і зміни у процесах їх розсіювання. Немонотонний характер залежностей  $\lambda_L(x)$  і  $\beta(x)$  пов'язується з проявом критичних явищ, які супроводжують фазовий перехід переколяційного типу, що має місце при переході від розведеніх до концентрованих твердих розчинів. Одержані в цій роботі, а також попередні наші дані по дослідженню твердих розчинів  $PbSe_{1-x}Te_x$  показують, що при інтерпретації результатів, оптимізації ТЕ властивостей і практичному застосуванні цих матеріалів необхідно враховувати концентраційні аномалії теплопровідності в певному інтервалі складів поблизу вихідних компонентів  $PbTe$  і  $PbSe$ .

## Література

1. Rowe D.M. (Ed.) CRC Handbook of Thermoelectrics, London, New York, Washington: CRC Press, Boca Raton, 1995, 701p.
2. Анатychuk Л.И. Термоэлементы и термоэлектрические устройства. Справочник, Київ: Наукова Думка, 1979, 768с.
3. Ren Z., Lan Y., Zhang Q., Advanced thermoelectrics: Materials, contacts, devices, and systems, Boca Raton: CRC Press Taylor & Francis Group, 2017, 813p.
4. Pei Y., Shi X., LaLonde A., Wang H., Chen L., Snyder G.J., Convergence of electronic bands for high performance bulk thermoelectrics, Nature. Letter., 473, 2011, 66-69.
5. Basu R., Bhattacharya Sh., Bhatt R., Singh A., Aswal D. K., Gupta Sh. K., Improved thermoelectric properties of Se-doped n-type  $PbTe_{1-x}Se_x$  ( $0 \leq x \leq 1$ ), Journal of Electronic Materials, 42(7), 2013, 2292-2296.
6. Li J.Q., Li S.P., Wang Q.B., Wang L., Liu F.S., Ao W.Q., Synthesis and thermoelectric properties of the  $PbSe_{1-x}Te_x$  alloys, Journal of Alloys and Compounds, 509, 2011, 4516-4519.
7. Tian Zh., Garg J., Esfarjani K., Shiga T., Shiomi J., Chen G., Phonon conduction in  $PbSe$ ,  $PbTe$ , and  $PbTe_{1-x}Se_x$  from first-principles calculations, Phys. Rev. B, 85, 2012, 184303.
8. Rogacheva E.I., Nashchekina O.N., Dresselhaus M.S., Thermal conductivity isotherm anomalies in semiconductor solid solutions based on IV-VI compounds, J. Thermoelectricity, 4, 2005, 82-90.
9. Rogacheva E.I., Vodorez O.S., Nashchekina O.N., Dresselhaus M.S., Concentration anomalies of the thermal conductivity in  $PbTe-PbSe$  semiconductor solid solutions, Phys. St. Sol. B, 251, 2014, 1231-1238.
10. Vodoriz O.S., Tavrina T.V., Nikolaenko G.O., Rogachova O.I. Mechanical and Thermoelectric Properties of  $PbSe_{1-x}Te_x$  Semiconductor Solid Solutions ( $x = 0 - 0.04$ ), Metallofiz. Noveishie Tekhnol., 42(4), 2020, 487-495 (in Ukrainian).
11. Tritt T.M., Thermal conductivity: theory, properties, and applications, Kluwer Academic, Plenum Publishers, New York, 2004, 290p.
12. Berman R., Thermal conduction in solids, Clarendon Press, Oxford, 1976, 193 p.
13. Pei Y.-L., Liu Y. Electrical and thermal transport properties of Pb-based chalcogenides:  $PbTe$ ,  $PbSe$

and PbS, J. Alloys and Compounds, 514, 2012, 40-44.

14. Тарасевич Ю.Ю., Перколяция: теория, приложения, алгоритмы, Москва: Едиториал УРСС, 2002, 112 с.
15. Stauffer D., Aharony A., Introduction to Percolation Theory, Taylor & Francis, Washington, DC, 1992, 192p.

Надійшла до редакції 06.08.2020

**Ніколаєнко Г.А., Водоріз А.С.,  
Рогачова Е.І., докт. физ.-мат. наук, професор,  
Тавріна Т.В., канд. физ.-мат. наук, доцент**

Национальный Технический Университет  
«Харьковский Политехнический Институт»,  
ул. Кирпичева, 2, Харьков, 61002, Украина

## **ТЕПЛОПРОВОДНОСТЬ ТВЕРДЫХ РАСТВОРОВ $PbSe_{1-x}Te_x$ ( $x = 0 - 0.04$ )**

*Получена зависимость решеточной теплопроводности  $\lambda_L$  прессованных образцов твердых растворов  $PbSe_{1-x}Te_x$  от состава ( $x = 0 - 0.04$ ) при температуре 325 К. На кривой  $\lambda_L(X)$  выявлен максимум вблизи  $x = 0.0075$ . Измерение температурной зависимости  $\lambda_L$  в интервале 150 - 600 К показало, что концентрационная аномалия в этом же интервале составов наблюдается и на зависимости степенного коэффициента  $\beta$  в температурной зависимости  $\lambda_L$  от состава. Немонотонный характер зависимостей  $\lambda_L(x)$  и  $\beta(x)$  связывается с критическими явлениями, сопровождающими переход перколяционного типа от разбавленных к концентрированным твердым растворам. При исследовании и практическом применении твердых растворов  $PbSe_{1-x}Te_x$  необходимо учитывать немонотонный характер изменения теплопроводности с составом. Бібл. 15, рис. 3.*

**Ключевые слова:** твердые растворы  $PbSe_{1-x}Te_x$ , теплопроводность, состав, температура, перколяции.

**G.O.Nikolaenko, O.S.Vodoriz,**  
**E.I. Rogacheva doc. phys. - math. Sciences,**  
**Tavrina T.V., cand. phys.-math. Sciences, Associate Professor**

National Technical University “Kharkiv Polytechnic Institute”  
2 Kyrpychova Str., Kharkiv, 61002, Ukraine

## **THERMAL CONDUCTIVITY OF PbSe<sub>1-x</sub>Te<sub>x</sub> (x = 0 – 0.04) SOLID SOLUTIONS**

*The dependence of lattice thermal conductivity  $\lambda_L$  of pressed samples of PbSe<sub>1-x</sub>Te<sub>x</sub> solid solutions on the composition (x = 0 – 0.04) at a temperature of 325 K is obtained. The  $\lambda_L(x)$  curve shows a maximum near x = 0.0075. Measurement of the temperature dependence of  $\lambda_L$  in the range of 150 - 600 K showed that a concentration anomaly in the same range of compositions is also observed on the composition dependence of power factor  $\beta$  in the temperature dependence of  $\lambda_L$ . The non-monotonic character of the  $\lambda_L(x)$  and  $\beta(x)$  dependences is associated with critical phenomena accompanying the transition of the percolation type from dilute to concentrated solid solutions. In the study and practical application of PbSe<sub>1-x</sub>Te<sub>x</sub> solid solutions, it is necessary to take into account the non-monotonic nature of the change in thermal conductivity with composition.*

**Key words:** PbSe<sub>1-x</sub>Te<sub>x</sub> solid solutions, thermal conductivity, composition, temperature, percolation.

### **References**

1. Rowe D.M. (1995). *CRC Handbook of Thermoelectrics*. Boca Raton, London, New York, Washington: CRC Press.
2. Anatychuk L.I. (1979). *Termoelementy i termoelektricheskiye ustroistva. Spravochnik [Thermoelements and thermoelectric devices. Reference book]*. Kyiv: Naukova dumka [in Russian].
3. Ren Z., Lan Y., Zhang Q. (2017). *Advanced thermoelectrics: Materials, contacts, devices, and systems*. Boca Raton: CRC Press Taylor & Francis Group.
4. Pei Y., Shi X., LaLonde A., Wang H., Chen L., Snyder G.J. (2011). Convergence of electronic bands for high performance bulk thermoelectrics. *Nature Letter*, 473, 66-69.
5. Basu R., Bhattacharya Sh., Bhatt R., Singh A., Aswal D. K., Gupta Sh. K. (2013). Improved thermoelectric properties of Se-doped n-type PbTe<sub>1-x</sub>Se<sub>x</sub> (0 ≤ x ≤ 1). *Journal of Electronic Materials*, 42(7), 2292-2296.
6. Li J.Q., Li S.P., Wang Q.B., Wang L., Liu F.S., Ao W.Q. (2011). Synthesis and thermoelectric properties of the PbSe<sub>1-x</sub>Te<sub>x</sub> alloys. *Journal of Alloys and Compounds*, 509, 4516-4519.
7. Tian Zh., Garg J., Esfarjani K., Shiga T., Shiomi J., Chen G. (2012). Phonon conduction in PbSe, PbTe, and PbTe<sub>1-x</sub>Se<sub>x</sub> from first-principles calculations. *Phys. Rev. B*, 85, 184303.

8. Rogacheva E.I., Nashchekina O.N., Dresselhaus M.S. (2005). Thermal conductivity isotherm anomalies in semiconductor solid solutions based on IV-VI compounds. *J. Thermoelectricity*, 4, 82-90.
9. Rogacheva E.I., Vodorez O.S., Nashchekina O.N., Dresselhaus M.S. (2014). Concentration anomalies of the thermal conductivity in PbTe–PbSe semiconductor solid solutions. *Phys. St. Sol. B*, 251, 1231-1238.
10. Vodoriz O.S., Tavrina T.V., Nikolaenko G.O., Rogachova O.I. (2020). Mechanical and thermoelectric properties of PbSe<sub>1-x</sub>Te<sub>x</sub> semiconductor solid solutions (x = 0 – 0.04). *Metallofiz. Noveishie Tekhnol.*, 42(4), 487-495 (in Ukrainian).
11. Tritt T.M. (2004). *Thermal conductivity: theory, properties, and applications*. New York: Kluwer Academic, Plenum Publishers.
12. Berman R. (1976). *Thermal conduction in solids*. Oxford: Clarendon Press.
13. Pei Y.-L., Liu Y. (2012). Electrical and thermal transport properties of Pb-based chalcogenides: PbTe, PbSe and PbS. *J. Alloys and Compounds*, 514, 40-44.
14. Tarasevich Yu.Yu. (2002). *Percolatsiia: teoriia, prilozheniia, algoritmy* [Percolation: theory, applications, algorithms]. Moscow: Editorial URSS [in Russian].
15. Stauffer D., Aharony A. (1992). *Introduction to percolation theory*. Wasington, DC: Taylor & Francis.

Submitted 06.08.2020